

*Письма в ЖЭТФ, том 17, вып. 9, стр. 508 – 511.*

*9 мая 1973 г.*

## АМПЛИТУДА КОЛЕБАНИЙ ПОТЕНЦИАЛА КВАЗИНЕЙТРАЛЬНОГО ИОННОГО ПУЧКА

*A. B. Жаринов*

Приближенно вычисляется амплитуда колебаний потенциала квазинейтрального ионного пучка в зависимости от постоянной и переменной составляющей плотности ионного тока, давления остаточного газа и ускоряющего напряжения. Показано, что при ограниченной амплитуде потенциала полный ток ионного пучка не зависит от его высоты.

В ряде предшествующих работ [1 – 4] описано явление динамической декомпенсации объемного заряда квазинейтральных ионных пучков. Однако в этих работах отсутствует анализ взаимосвязи амплитуды колебаний потенциала пучка с глубиной модуляции плотности ионного тока. Этому вопросу и посвящена настоящая статья.

Пусть плотность ионного тока  $j$  в квазинейтральном ионном пучке имеет переменную составляющую  $\Delta j \sin \omega t$ . Время компенсации дополнительного заряда  $2\Delta j/v = \xi j/v$  будет равно  $\tau_\xi = \xi \tau$ , где  $\tau$  – полное время компенсации [1]. При частоте модуляции  $\omega > 2\pi/\tau_\xi$  процесс нейтрализации запаздывает. Поэтому ионный пучок периодически вносит в плазму избыточный положительный заряд, и потенциал плазмы синхронно изменяется от стационарного значения  $\phi_0 \sim T_e \ln \sqrt{M_2/m}$  ( $T_e$  – температура электронов,  $M_2$ ,  $m$  – масса ионов и электронов) до некоторого максимального  $\phi$ , который и требуется вычислить.<sup>1</sup>

При появлении избыточного положительного заряда возникающее электрическое поле сжимает электронный газ, благодаря чему плазма остается квазинейтральной, а избыточный заряд мгновенно "переливается" в пристеночные слои.

Если пучок движется поперек сильного магнитного поля  $H$ , то электронный газ практически сжимается только в направлении  $H$ .

В этом предположении потенциал плазмы определяется следующим приближенным алгебраическим уравнением :

$$\Delta \rho A \approx 2(d - d_o) i_2 / v_2, \quad (1)$$

где  $A$  – высота ионного пучка;  $i_2 / v_2$  – объемный заряд вторичных ионов вне пучка, вблизи стенок вакуумной камеры ( $e n_2 = -i_2 / v_2$ ).  $d(\phi) = (\sqrt{2e/M_2} \phi^{3/2} / 9\pi i_2)^{1/2}$  – толщина пристеночного слоя положительного заряда.  $i_2 = i n_o (\sigma_i + \sigma_{II}) A / 2$  – плотность тока вторичных ионов на стенку,  $\sigma_i, \sigma_{II}$  – сечения ионизации и перезарядки,  $n_o$  – концентрация атомов остаточного газа в вакуумной камере.

С учетом уменьшения скорости быстрых ионов за счет повышения потенциала плазмы:

$$\Delta \rho = (\xi + \phi/2u - \phi_o/2u) j / v, \quad (2)$$

где  $u$  – потенциал ионного источника по отношению к стенкам вакуумной камеры.

Уравнение (1) удобно представить в безразмерном виде:

$$\alpha (2\xi + \eta - \eta_o) = \eta^{3/4} - \eta_o^{3/4} \dots, \quad (3)$$

где  $\eta = \phi/u$ ;  $\eta_o = \phi_o/u$ ; ( $\eta_o \ll \eta \ll 1$ ),

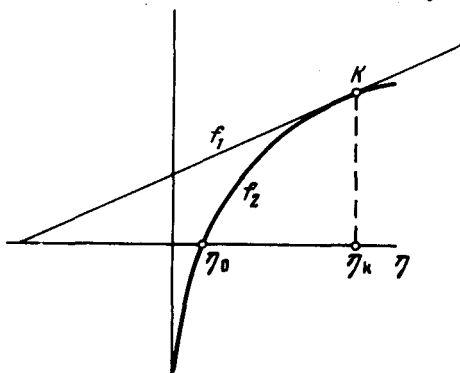
$$\alpha = \frac{1}{4} \sqrt{i/i_\lambda} \dots, \quad (4)$$

$$i_\lambda = \frac{M_2}{M} \sqrt{2e/M_2} u^{5/2} (9\pi A \lambda T_e)^{-1} \dots. \quad (5)$$

$M$  – масса ионов пучка;

$$\lambda = [n_o (\sigma_i + \sigma_{II})]^{-1}. \quad (6)$$

Левая часть уравнения (3) отображает возмущение положительного пространственного заряда, а правая – отрицательный заряд, выдавливаемый из пристеночного объема плазмы ( $d - d_o$ ).



Потенциал плазмы  $\eta$  определяется точкой пересечения функций  $f_1(\eta)$  и  $f_2(\eta)$ , представляющих левую и правую части уравнения (3) соответственно.

При определенном критическом значении параметров  $\alpha = \alpha_K$  и  $\xi = \xi_K$  равенство  $f_1 = f_2$  имеет место в точке касания  $K$ , при  $\eta = \eta_K$ . Этот случай схематически изображен на рисунке.

Легко показать, что

$$\alpha_K = 3/4\eta_K^{1/4} \dots, \quad (7)$$

$$6\xi_K/\eta_o = 3 + \eta_K/\eta_o - 4(\eta_K/\eta_o)^{1/4}. \quad (8)$$

Критический режим ( $\alpha_K$ ,  $\xi_K$ ,  $\eta_K$ ) – неустойчив, так как при бесконечно малом возмущении  $\alpha$ ,  $\xi$  или  $\eta$  в пучке возникает "виртуальный анод". Эта неустойчивость аналогична электростатической неустойчивости Пирса в квазинейтральном электронном пучке. Максимальное значение  $\alpha_K = \alpha_{max}$  имеет место при  $\eta_K = \eta_o$ ;  $\xi_K = 0$  и определяет критерий собственной электростатической неустойчивости, т. е. в отсутствие внешних возмущений:

$$\alpha > \alpha_{max} = 3/4\eta_o^{1/4} \dots \quad (9)$$

или

$$i \geq i_o = 9j_\lambda/\sqrt{\eta_o}. \quad (10)$$

Результат, аналогичный (10), ранее был получен Поповым [5]. Большинство практических задач накладывает ограничение на потенциал пучка, так что  $\eta < \eta_K \leq 20\eta_o$ . Вместе с тем глубина модуляции реальных ионных пучков весьма высока, так что  $\xi_K \ll \xi \lesssim 10^2\eta_o$ . Поэтому реальные значения параметра  $\alpha$  оказываются низкими  $\alpha \ll \alpha_K$ .

С учетом сказанного функцию  $f_2(\eta)$  можно с удовлетворительной точностью аппроксимировать выражением:

$$f_2(\eta) \approx \eta_g^{-1/4}(\eta - \eta_o) \dots, \quad (11)$$

где  $\eta_g$  – максимально допустимое значение потенциала ( $\leq 20\eta_o$ ). В этом приближении вместо (3) получим:

$$\alpha \approx \eta_g^{-1/4}(\eta/\eta_o - 1)(2\xi/\eta_o + \eta/\eta_o - 1)^{-1} \dots \quad (12)$$

В случае  $\eta/\eta_o \gg 1$  и  $\xi/\eta_g \gg 1$

$$\alpha \approx \eta_g^{-1/4}\eta(2\xi)^{-1} \dots \quad (13)$$

или, используя (4), (10), получим:

$$i/i_o \approx 4\sqrt{\eta_o/\eta_g}\eta^2(3\xi)^{-2}. \quad (14)$$

Уравнение (14) дает искомую приближенную зависимость потенциала пучка  $\eta$  от глубины модуляции  $\xi$  и плотности ионного тока  $i(\xi, \eta)$ .

Например, для  $\eta = \eta_g = 10\eta_o$ ;  $\eta_o = 3 \cdot 10^{-4}$ ;  $\xi = 6 \cdot 10^{-2}$ ;  $v = 3 \cdot 10^4 \text{ см/с}$ ;  $T_e = 2e$ ;  $A = 20 \text{ см}$ ;  $\lambda = 10^3 \text{ см}$ ;  $M_2 = 28$ ;  $M = 56$ ; получается  $i_o = 10a/\text{см}^2$ ;  $i = 3,5 \text{ мА/см}^2$ , а общий ионный ток на 1 см ширины пучка  $I = i A = 70 \text{ мА/см}$ . Эти цифры удовлетворительно согласуются с характеристиками ионных пучков в электромагнитных сепараторах изотопов [2 – 4].

Полезно отметить, что при естественном ограничении  $\eta \leq \eta_g = \text{const}$  из (14) вытекает условие:

$$j A \lambda \xi^2 u^{-5/2} = \text{const} . \quad (15)$$

Следовательно, при заданном потенциале  $\eta_g$ , полный ток не зависит от высоты пучка, а допустимая плотность тока увеличивается при уменьшении высоты. Возможно по этой причине не удавалось повысить производительность электромагнитных сепарационных установок увеличением высоты пучка.

В заключение благодарю Ю.С.Попова и В.С.Фрофеева за полезные дискуссии.

Поступила в редакцию  
6 марта 1973 г.

### Литература

- [ 1 ] В.С.Анастасевич. ЖТФ, 26, 1487, 1956.
  - [ 2 ] М.В.Незлин. ЖТФ, 30, 168, 1960.
  - [ 3 ] В.И.Райко. ЖТФ, 33, 244, 1963.
  - [ 4 ] М.В.Незлин. "Плазм. неуст. и компенсация простр. заряда ионного пучка". Препринт ИАЭ, 1966; Plasma Phys., 10, 337, 1968.
  - [ 5 ] Ю.С.Попов. Письма в ЖЭТФ, 4, 352, 1966.
-